

九州大学 正員 粟谷 陽一

〃 〃 〃 北野 義則

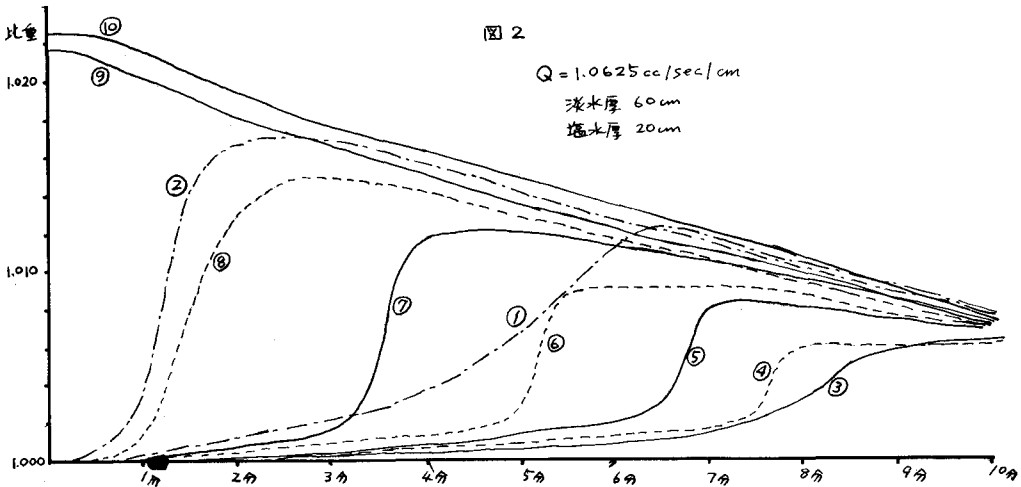
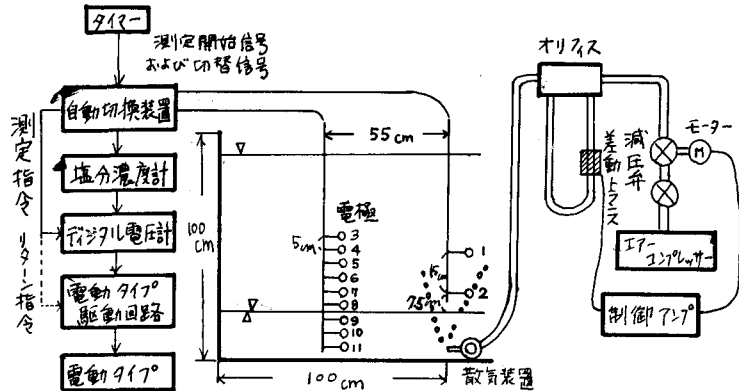
1. まえがき

河口附近でのノリ養殖場において、海水の塩分濃度が、 $\frac{1}{2}$ 以上に薄められてしまうと、ノリの生育に支障をきたし、淡水中に長時間、浸っていると枯死する。特にノリ網は、海面近くであり、河川水が、海面を掃って行くことから、害は大きいのである。このような害を防ぐために、淡水、塩水の2層流を海底に設けた散気装置から、気泡噴流をつくり、淡水が気泡噴流附近と流下中に、噴流の攪拌作用によって、混合させる方法が考えられる。噴流が淡水、塩水2層を貫いて、上昇する場合の性質は、極めて複雑であるが、流れの影響を考慮しないで、静水の場合、かつ自由表面の影響を無視して、実験的検討を行った。

2. 実験装置

図1の様に、実験水槽は、幅2m、深さ1m、奥行40cm、の全面アクリル製のものを用い、中央底部に、長さ40cmの真鍮パイプに7mmおきに、注射バリ(皮下用 $\frac{1}{4}$ 、内径0.23mm)を58本取

実験装置 図-1

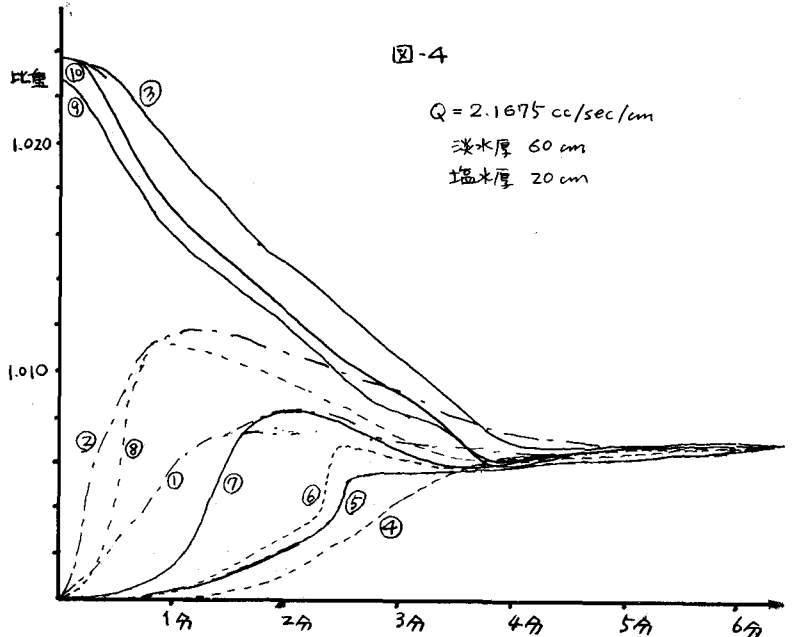
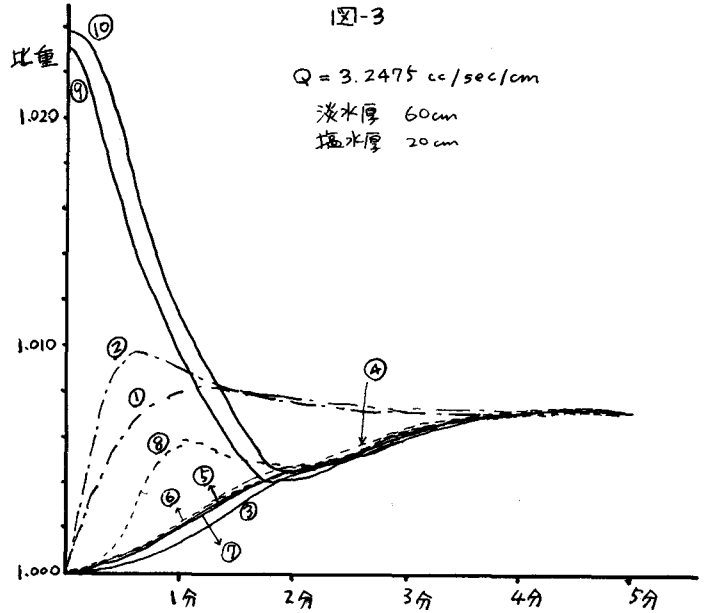


付けた。塩水(比重は1.024位とした。)は、注射バリ先端より20cmあるいは、40cm、淡水厚は、60cm、あるいは50cmとした。観察を容易にするために、塩水は、フルオレッセインで着色した。中央底部においた散気装置は、コンプレッサーより減圧弁、オリフイス流量計を通して送気した。槽中には、図1の様に10組の電極を設け(3番と11番は、そのつどどちらか一方を使用)、4電極法により、電気伝導度を測定し、各点の濃度変化を求めた。各電極の濃度変化は、6秒間隔で(1電極に0.4秒)、電動タイプライターに、記録させた。

### 3. 実験結果

実験結果の教例を図-2, 3, 4, 5に示す。図2の様に、空気量の少ない時には、例えば、⑩の初期に、塩水中に溶っていたものは、しだいに濃度減少が起っているし、初期に淡水中にあった⑤の電極は、ある時間急激に、塩分濃度が高くなり、そして③~⑧の電極から、塩分濃度急上昇のtime lagが、現れているので、界面上昇の様子が、明確に解かるし、観察と一致する。図3の様に空気量が、多くなると、⑩の電極は、急激に塩分濃度の減少をきたし、再びしだいに、濃度が上昇する。

⑤の電極は、図2の⑤と異り、初めのうちから、しだいに塩分増加が起っている。又③~⑧の電極から理解できるように、time lagがほとんど現れていない。このことも観察と一致する。中間の送気量では、図4に示している様に、⑤、⑥の電極から、図2, 3の現象の遷移的な現象が現れていると思われる。なお参考的に、塩水水深、



40 cm, 淡水水深 50 cm の場合を図-5 に示す。

4. 考察

図2.3 から、気泡噴流に2層の混合状態を定性的に見れば、図6の④⑥という状態とそれ向の遷移的なものである。(b)の状態であると思われる図2の現象は噴流が、塩水から淡水中に達すると、気泡の浮力も塩水を淡水中に上昇させることができず、噴流は上昇速度を失って、気泡のみ淡水層中で相対速度だけで上昇し、自由表面に達する。両層境界面の形状は、散気装置直に塩水層の盛り上がりを生ずるだけとなる。しかし、その近辺では、せん断流があるので、淡水を 取り込む形で、乱流拡散が徐々に行われる。従って界面通過の際、塩分濃度が急上昇する。(a)の状態であると思われる図3の現象は、噴流が塩水と淡水の界面を、通過した後、噴流が塩水を運出し、途中で淡水が塩水を取り込む形で混合が行われる為、time lag もほとんどない。又噴流上昇のために、塩水が側方に押しつけられ、下降するために⑩の濃度減少が急激であると思われる。

混合の状態をもう少し一般的に考えよるために、図7の状態を考えると、塩水の質量保存を計算すると、

$$C_F V_F + C_U dV_{E \downarrow F} - C_F dV_{F \uparrow U} = (C_F - dC_F)(V_F + dV_{E \downarrow F} - dV_{F \uparrow U})$$

より)  $dV_{E \downarrow F} = -V_F dC_F / (C_U - C_F)$

$$Q_{E \downarrow F} = -V_F \frac{dC_F}{dt} / (C_U - C_F)$$

同様にすると

$$Q_{F \uparrow U} = V_U \frac{dC_U}{dt} / (C_U - C_F)$$

となりグラフより、 $Q_{E \downarrow F}$ ,  $Q_{F \uparrow U}$  を求めると図8の様になる。

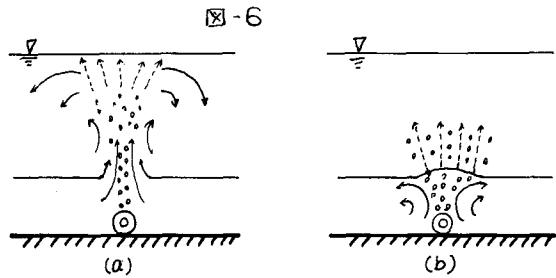
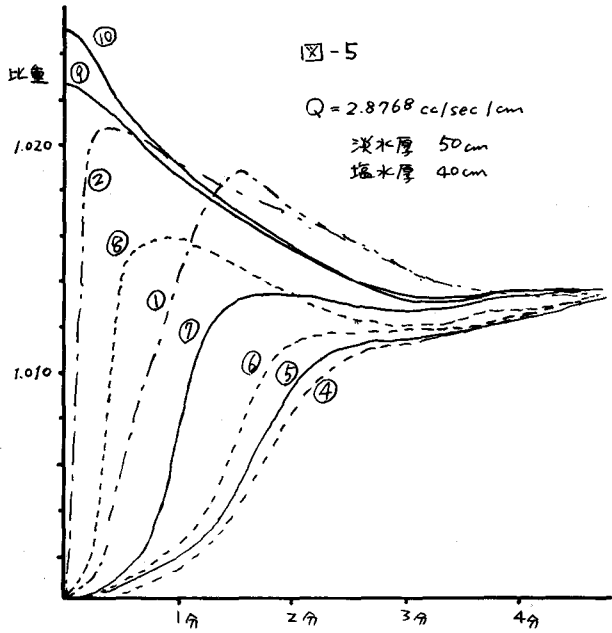
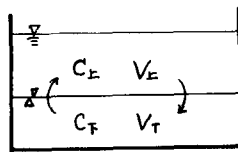


図-7



$C_U: C_F$  上下層の濃度  
 $V_U: V_F$  上下層の体積  
 $dV_{E \downarrow F}$  上層より下層に移動  
 $dV_{F \uparrow U}$  下層より上層に移動

塩水厚によ別差異はあると思われ  
 水じ、図8よりある空気量を込え  
 と淡水が塩水を取り込む方が強くな  
 った、混合量が急激に増すのが、予  
 想される。又混合量  $Q_{上F}$  (或いは  $Q_{上L}$ )  
 は、噴流速度  $v$  と、噴流幅  $B$  に比例  
 するであろうと考えられるので、

$$Q_{上F} \text{ (或いは } Q_{上L}) \propto vB \propto \sqrt[3]{gQ} \cdot H$$

又気泡密度  $\sigma$  とすると、

$$\sigma = Q/vB$$

気泡の浮力は、

$$\rho_0 g = \rho g Q / vB$$

$$\propto \rho g Q / \sqrt[3]{gQ} \cdot H$$

淡水と塩水の密度差による浮力は、

$$(\rho_s - \rho) g$$

$\rho_s$ : 塩水の密度,  $\rho$ : 水の密度

となる。気泡の浮力と淡水と塩水の密度差による浮力の比は

$$\frac{\rho_0 g}{(\rho_s - \rho) g} \propto \frac{\rho g Q / \sqrt[3]{gQ} \cdot H}{(\rho_s - \rho) g} = \frac{(\rho Q)^{2/3}}{\rho_s - \rho} g H$$

となり、これは内部フルード数的存在質のも  
 である。以上を使用して図9を書く。

傾向的には似が占っているが、無次元化したの  
 にもかかわらず、符号離れているのは、気泡の  
 相対速度を考慮にいれていないからであろう。  
 なおこの実験に当っては、福岡県水産試験場の  
 名氏にお世話になった。ここに謝意を表す。

